

京都大学工学部 正員 山田善一  
 金沢大学工学部 正員 ○小堀義雄  
 京都大学工学部 学生員 中村幾雄

### 1. まえがき

この研究は道路橋と自動車の振動に不規則振動論を応用して、同時に載荷する自動車の数が多くなると自動車荷重が橋桁に与える動的効果は小さくなることを明らかにし、実際の設計荷重に近い状態の動的応答を計算してその特性を説明するものである。また、走行荷重による連続桁橋の動的応答についてもその特性を考察し、これまで明確にされていなかった走行荷重による連続桁橋の動力学的問題を解明する。

### 2. 運動方程式と伝達関数

自動車と橋桁との振動系を図-1のようになると。

まず、橋桁の動たわみ曲線をつきのようには示す。

$$\begin{aligned} y &= g(t) f(x) \\ f(x) &= \sum_i \frac{1}{K_i} X_i(x) \end{aligned} \quad \left\{ \begin{array}{l} (1) \end{array} \right.$$

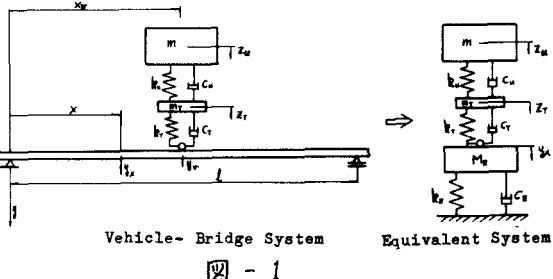


図 - 1

ここに、 $g(t)$  は時間のみに関する関数であり、 $X_i(x)$  は $x$ のみに関する関数で一般に基準関数とよばれ、橋桁の境界条件を満足するように定められる。 $K_i$  は橋桁の剛性  $EI$  に関するパラメータである。

いま、各振動モードに分解して運動方程式をエネルギー法をもつて導く。

$$\begin{cases} \frac{A_1}{g} \ddot{y}_{ix} + C A_2 \dot{y}_{ix} + EA_3 y_{ix} - \{k_T(z_T - y_r) + C_T(\dot{z}_T - \dot{y}_r)\} X_{iv} X_{ix} = 0, \\ M_T \ddot{z}_T + k_u(z_u - z_T) + C_u(\dot{z}_T - \dot{z}_u) = 0, \\ M_T \ddot{z}_T + k_u(z_T - z_u) + C_u(\dot{z}_T - \dot{z}_u) + k_T(z_T - y_r) + C_T(\dot{z}_T - \dot{y}_r) = 0, \end{cases} \quad (2)$$

ここに、 $A_1$ 、 $A_2$  および  $A_3$  は、

$$A_1 = \int_0^l w(x) \{X_i(x)\}^2 dx, \quad A_2 = \int_0^l \{X_i(x)\}^2 dx, \quad A_3 = \int_0^l I(x) \{X_i''(x)\}^2 dx \quad (3)$$

であり、 $y_r$  は荷重接地点の動たわみであり、橋面の凹凸を考慮して、 $x$  点の動たわみ  $y_x$  との関係は、

$$y_r = (X_{iv}/X_{ix}) y_x + Z_0 \quad (4)$$

である。その他の記号は図-1を参照されたい。

式(4)を考慮しながら、 $y_x$ 、 $Z_u$ 、 $Z_T$  および  $Z_0$  のフーリエ変換を  $Y_x$ 、 $Z_u$ 、 $Z_T$  および  $Z_0$  とし、式(2)のフーリエ変換を行なう。

$$\begin{cases} \frac{A_1}{g} (j\omega)^2 + C A_2 (j\omega) + EA_3 + (k_T \frac{X_u}{X_x} + C_T \frac{X_u}{X_x} (j\omega)) X_v X_x \} Y_x \\ - (k_T + C_T (j\omega)) X_v X_x Z_T + (k_T + C_T (j\omega)) X_v X_x Z_0 = 0, \\ \{ M_T (j\omega)^2 + (k_u + C_u (j\omega)) \} Z_u - (k_u + C_u (j\omega)) Z_T = 0, \\ - (k_T + C_T (j\omega)) \frac{X_u}{X_x} Y_x - (k_u + C_u (j\omega)) Z_u \\ + \{ M_T (j\omega)^2 + (k_u + C_u (j\omega)) + (k_T + C_T (j\omega)) \} Z_T - (k_T + C_T (j\omega)) Z_0 = 0. \end{cases} \quad (5)$$

つきの記号をもつて、 $Y_x$  と  $Z_0$  または  $Z_u$  の間の伝達関数をもとめると、

$$\left. \begin{aligned} J_1 &= (A_1/g)(j\omega)^2 + c A_2(j\omega) + EA_3 + (k_T + C_T(j\omega)) X_v^2, \\ J_2 &= k_T + C_T(j\omega), \quad J_3 = k_u + C_u(j\omega), \\ J_4 &= m(j\omega)^2 + k_u + C_u(j\omega), \quad J_5 = M_T(j\omega)^2 + k_T + k_u + (C_T + C_u)(j\omega), \end{aligned} \right\} \quad (6)$$

$$\left. \begin{aligned} H_{YxZu} &= \frac{J_2 J_3 (J_1 - J_2 X_v^2)}{J_1 (J_4 J_5 - J_3^2) - J_2^2 J_4 X_v^2}, \\ H_{YxZo} &= \frac{J_2 (J_2 J_4 - J_4 J_5 + J_3^2) X_v X_x}{J_1 (J_4 J_5 - J_3^2) - J_2^2 J_4 X_v^2}. \end{aligned} \right\} \quad (7)$$

さて、入力剛数として自動車のばね上質量の鉛直変位  $Z_u$  または橋面の凹凸  $Z_o$  をとり、応答剛数として  $X$  軸の動たみ  $Y_x$  をとると  $Y_x$  の  $10^{\circ}$  ワーストトル密度  $S_{Yx}$  は、

$$\left. \begin{aligned} S_{YxZu}(\omega) &= \overline{H_{YxZu}(j\omega)} \cdot H_{YxZu}(j\omega) S_{Zu}(\omega), \\ S_{YxZo}(\omega) &= \overline{H_{YxZo}(j\omega)} \cdot H_{YxZo}(j\omega) S_{Zo}(\omega). \end{aligned} \right\} \quad (8)$$

ここで、 $j$  は  $\sqrt{-1}$  であり、 $\overline{\quad}$  は共轭複素数を表す。

### 3. 不規則外力に対する応答の計算

走行中の自動車の振動は主として橋面の凹凸による振動であることから入力剛数として橋面の凹凸をもちいる。この凹凸の  $10^{\circ}$  ワーストトル密度は川合・森崎氏によって求められておりその値をさうに単純化した値をもちいる。

$$S_{Zo}(\omega) = \frac{1}{\nu} (0.001 (\Omega)^{-1.792}) \quad (9)$$

#### 3-1 単純析橋

まず、単純析橋について計算を行ふ。桁は等断面とし、動たみ  $X$  曲線を

$$y = \sum (B(t)/K_i) \sin(i\pi x/l) \quad (10)$$

とし、1 次振動に較べて高次の振動は振動数の 2 倍に逆比例して小さくなるので、2 次以上の項を省略する。このとき式(3)は、 $A_1 = \omega l/2$ ,  $A_2 = l/2$ ,  $A_3 = I l/2$  となり、さらには、荷重の作用点と測定点を  $10^{\circ}$  中央にとれば、 $X_v = X_x = 1$  となる。

数值計算では  $10^{\circ}$  長、荷重の速度、橋桁の減衰係数を  $10^{\circ}$  テーブルにして数種の計算を行つた。その代表的な結果を図-2 に掲げる。

#### 3-2 連続析橋

連続析橋については一般に変断面析が多く  $10^{\circ}$  割も不規則である。そこでまず、スペクトル解析に入る前に固有振動周期および振動モードを求める必要がある。われわれはこの研究では新らしい試験と  $L2$  Transfer Matrix 法をもつて各種析橋の固有周期および振動モードを自動的に求める Program を開発したのでその Program をもちて求めた。この Program は土木学会誌に掲載されたもので、析は单  $10^{\circ}$ 、連続析、ゲルバー析、弹性支持析、弾性支承析、自由端もよく、 $10^{\circ}$  割および断面形状も自由であり、析の端部の支持条件も単純支持、固定支持、自由端りずれの場合

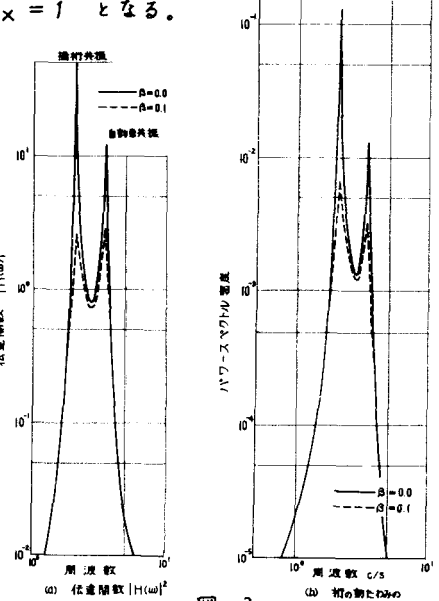


図-2 (a) 橋の動たみのパワースペクトラル密度

合も自動的に計算されるようになっていいる。

ここでは、新十三大橋を例にとってのべよう。その振動模型および振動周期とモードは図-3のとおりである。  
そこでのこのモードをもう少し、式(6)~(9)から各モードに対する橋桁の動的応答のパワースペクトル密度をまとめると図-4のようになる。この計算では橋の動たわみに6次までとり、各振動次数で  $K_c$  が振動数の2乗に比例して大きくなることを考慮して、計算を行なっていいる。  
また振動次数に対する橋桁の減衰走数をどうするかも問題があるが、この研究ではそれぞれの次数で等しいとし、 $\rho = 0.0 \sim 0.1$ まで変化させて計算を行なった。その結果の一例が図-4である。この図から3次モードを用いた場合のパワースペクトル密度がもっとも大きく、振動周期にして 0.59 sec でピークを示し、この値は新十三大橋の3次振動周期に相当していいる。既でわかれわれは新十三大橋の走行試験を行なっておりその結果からこのことが認められていいる。また、琵琶湖大橋(東大橋課研)および城ヶ島大橋(東大橋課研)の走行試験の結果から連続桁橋の振動は高次の振動が卓越的にあらわれるところが報告されていいる。

#### 4. 同時に多くの荷重が載荷した場合の応答と動的係数

設計荷重のように同時に多くの荷重が載荷して場合を考えよう。この時は問題を簡単にして同種の比較的重量の大きい、等重量トラック車が等間隔で運行していける場合を考える。このときは自動車の振動は互に独立であるが、パワースペクトル密度は等しいとする。伝達関数の添字を最初は応答の測定点を  $c$  の文字は荷重の位置をあらわすものとして、スパン中央点の動たわみ  $y_c$  のパワースペクトル密度を求めるとき、

$$S_{ycn}(\omega) = |H_{cc}|^2 S_{zc}(\omega) + |H_{c2}|^2 S_{z2}(\omega) + \dots + |H_{cn}|^2 S_{zn}(\omega) \\ = \left[ \sum_i |H_{cn}|^2 \right] S_z(\omega) \quad (11)$$

また、 $H_{cn}$  はスパン中央点上の荷重の伝達関数と、

$$H_{cn} = H_{cc} \cdot \sin(\pi x_n / l) = H_{cc} \cdot \Omega_n$$

の関係があるから、式(11)は

$$S_{ycn}(\omega) = \left[ \sum_i \Omega_n^2 \right] |H_{cc}|^2 S_z(\omega) = \left[ \sum_i \Omega_n^2 \right] S_{ycc}(\omega) \quad (12)$$

\* 新十三大橋の振動周期とモードは設計時に計算されていいるのでその値と比較して図-3の値を示す。

Shinjuso Ohashi Bridge

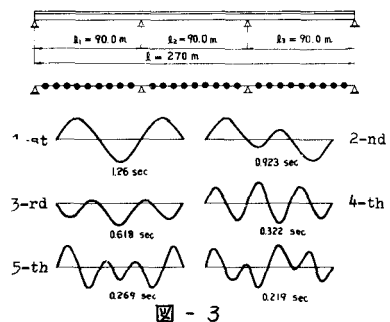


図-3

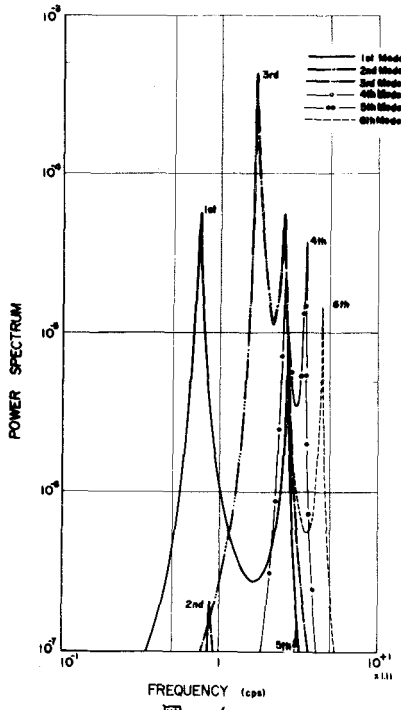


図-4

とあらわされる。

この不規則振動標準偏差は相対関数  
 $R(\tau)$ の $110^\circ$ メータを0とした場合で $110^\circ$   
 フラストラム密度から求められる。

$$(S.V.) = \sqrt{R(0)} = \sqrt{\frac{1}{2\pi} \int_{-\infty}^{\infty} S_{yy}(w) dw}$$

$$= \sqrt{\frac{1}{2\pi} \int_{-\infty}^{\infty} \left[ \sum_n \Omega_n^2 \right] S_{yy}(w) dw} \quad (13)$$

このことから動的応答の振幅の少なくて  
 とも $68.27\%$ はこの振幅内にあることになる。

一方静たゆみは、この荷重がスパン中央に載荷したときの静たゆみを $y_{sc}$ とすれば $i$ 台の荷重に対する静たゆみは、

$$y_{sn} = \left[ \sum_n \Omega_n^2 \right] y_{sc}$$

としてあらわされ、この場合の動的係数

$$i = \left( \sum \Omega_n^2 / \sum \Omega_n^2 \right) \times \left( \sqrt{\frac{1}{2\pi} \int_{-\infty}^{\infty} S_{yy}(w) dw} / y_{sc} \right)$$

$$= \varphi_n i, \quad (14)$$

としてあらわされる。

## 5. スパン長と衝撃係数

設計荷重は自動車が比較的密に載荷する場合に相当するので、これは自動車の間隔を $10m$ とする。このときはスパン長と載荷台数は比例するので $\varphi_n$ をスパン長の関係で示すと、図-5の(a)線となる。一方 $i$ は自動車が1台の場合の動的係数一般にスパン長が大きくなると小さくなるとの関係は先にSimulationによって求めたその曲線 $(b)$ に示す、式(14)で動的係数 $i$ は $(a)$ と $(b)$ の積であることをからその実線 $(c)$ に示す。すなはち、 $10/l$  ( $l$  m) の曲線 $(d)$ に示すと、 $(d)$ と $(c)$ の差は非常に小さいことからスパン長による遮減率として $(d)$ の曲線を示してもよいことがわかる。さて、設計衝撃係数として立ちる場合の基準値であるわれわれはこれまで計算と経験から $0.6$ をとる。

以上から合理的な設計衝撃係数として、つきの式を提案する。(図-6参照)

$$i = 0.6 \times 10/l$$

$$15m < l \leq 150m$$

$$i = 0.4 \quad l \leq 15m \quad (l \text{ は載荷長 m})$$

$$l \leq 15m \quad (l \text{ は載荷長 m})$$

## 6. むすび

以上、不規則振動論を応用して、走行荷重による道路橋の動的応答を求め、より合理的な設計衝撃係数を提案することことができた。また連続桁橋について若干の考察を加えたが走行荷重による動的応答は高次の振動が支配的であり、衝撃係数としては単純化の同一スパンに対するよりこうに小さな値をとることからなる。さらにスパン長による遮減率を求めたのでこの遮減率をもつて、1台の走行試験からスパン長に対する設計衝撃係数を推定することができます。

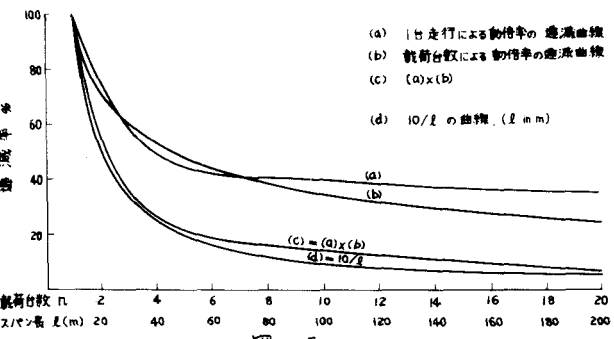


図-5

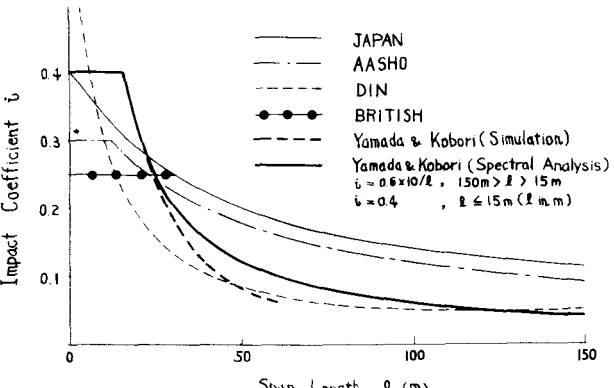


図-6